

ИНДУЦИРОВАННЫЕ ВОДОРОДОМ ПРЕВРАЩЕНИЯ В СИСТЕМЕ $\text{PrNi}_2\text{-H}$: ОТ КРИСТАЛЛИЧЕСКОГО К АМОРФНОМУ СОСТОЯНИЮ

© A. B. Иродова, O. A. Лаврова, Г. В. Ласкова,
П. П. Паршин, А. Л. Шилов

Российский научный центр «Курчатовский Институт»,
123182 Москва, Россия

Институт общей и неорганической химии им. Н. С. Курнакова
Российской академии наук,
117907 Москва, Россия

(Поступила в Редакцию 31 января 1995 г.
В окончательной редакции 28 июня 1995 г.)

Проведено рентгеновское дифракционное исследование последовательности фазовых превращений при изменении температуры в системе $\text{PrNi}_2\text{-H}$ вплоть до ее полной аморфизации. Определены структуры кристаллических фаз PrNi_2 , PrNi_3 , Pr_2Ni_7 и PrNi_5 , возникающих по мере снижения температуры и приближения к аморфному состоянию. Показано, что собственно аморфное состояние может рассматриваться как твердый раствор внедрения на основе сильно искаженной решетки исходного интерметаллида PrNi_2 . Предложен механизм водородной аморфизации.

Как известно [1], взаимодействие водорода с интерметаллическими соединениями в некоторых случаях приводит к их аморфизации. Попытки понять природу и механизм этого удивительного явления, не встречающегося в гидридах металлов, начались практически сразу после его открытия (более 15 лет назад) [2] и продолжаются до настоящего времени [3–9]. Замечено [4, 9], что водородной аморфизации подвержены только нестабильные соединения, в которых по тем или иным причинам ослаблены межатомные связи. Вероятно, поэтому переход их в аморфное состояние и последующая рекристаллизация (стимулируемая обычно нагреванием) осуществляются поэтапно через ряд превращений с образованием фаз, отличных от исходной [3, 5–8]. В настоящей работе представлены результаты рентгеновского структурного исследования таких превращений в типичной аморфизующейся системе $\text{PrNi}_2\text{-H}$ [3, 4], выполненного с целью прояснить механизм аморфизации.

Исходный интерметаллид PrNi_2 был синтезирован по методике, описанной в [9]. Реакцию его с водородом проводили в вакуумной установке [10]. Аморфный гидрид $\text{PrNi}_2\text{H}_{3.9}$ был получен при комнатной температуре, остальные образцы вблизи температур фазовых превращений

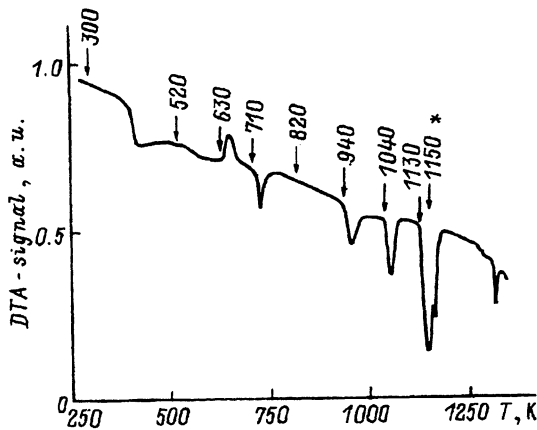


Рис. 1. ДТА-кривая, полученная при нагревании аморфного гидрида $\text{PrNi}_2\text{H}_3\cdot 9$.

Стрелками отмечены температуры синтеза образцов PrNi_2H_3 , исследованных в настоящей работе. Звездочкой отмечена температура разложения PrNi_2 .

(520, 630, 710, 820, 940, 1040 и 1130 К), которые были заранее определены методом дифференциального термического анализа (рис. 1). Во всех случаях начальное давление водорода в реакционной камере не превышало 0.5 bar. Реакция считалась завершенной после прекращения падения давления в камере, что происходило тем быстрее, чем выше была температура (от двух суток при 300 К до 8 часов при 1130 К). Содержание водорода в образцах определяли по величине изменения давления и уточняли методом сжигания в токе кислорода [10]. Точность определения составов была не хуже $\Delta H/\text{PrNi}_2 = 0.05$. Структурные исследования были выполнены на воздухе при комнатной температуре на рентгеновском дифрактометре ДРОН-4.0 ($\text{CuK}\alpha$ -излучение); при обработке данных использовали метод полнопрофильного анализа, реализованный в программе DBW3.2S [11]. Полученные результаты суммированы на рис. 2 и в таблице.

В дальнейшем в целях наглядности рассмотрение превращений проводится сверху вниз (от высоких температур к низким) в порядке, обратном тому, который имеет место при рекристаллизации аморфного гидрида (рис. 1).

В согласии с [9] исходная структура PrNi_2 определена (см. таблицу) как дефектная кубическая фаза Лавеса ($C15$). Со структурной точки зрения нестабильность этого соединения выражается в наличии вакансий в Рт-подрешетке, за счет которых происходит адаптация решетки в целом к большим по размеру атомам празеодима [9]. При этом, однако, часть атомов все же оказывается на расстояниях, больших, чем в идеальной структуре ($C15$) [9], так что соответствующие межатомные связи, вероятно, ослаблены. Взаимодействие этой структуры с водородом происходит практически одновременно с ее образованием (сильный эндоэффект при 1130–1150 К на рис. 1).

В интервале температур 1130–1040 К (рис. 1) водород разрушает решетку PrNi_2 до PrNi_3 с выделением гидрида празеодима (рис. 2, 1040 К). Структура PrNi_3 принадлежит к типу PuNi_3 и на нижней границе своего существования (1040 К) содержит почти 14% вакансий в Рт-подрешетке (см. таблицу), так что ее реальный состав близок к Pr_2Ni_7 .

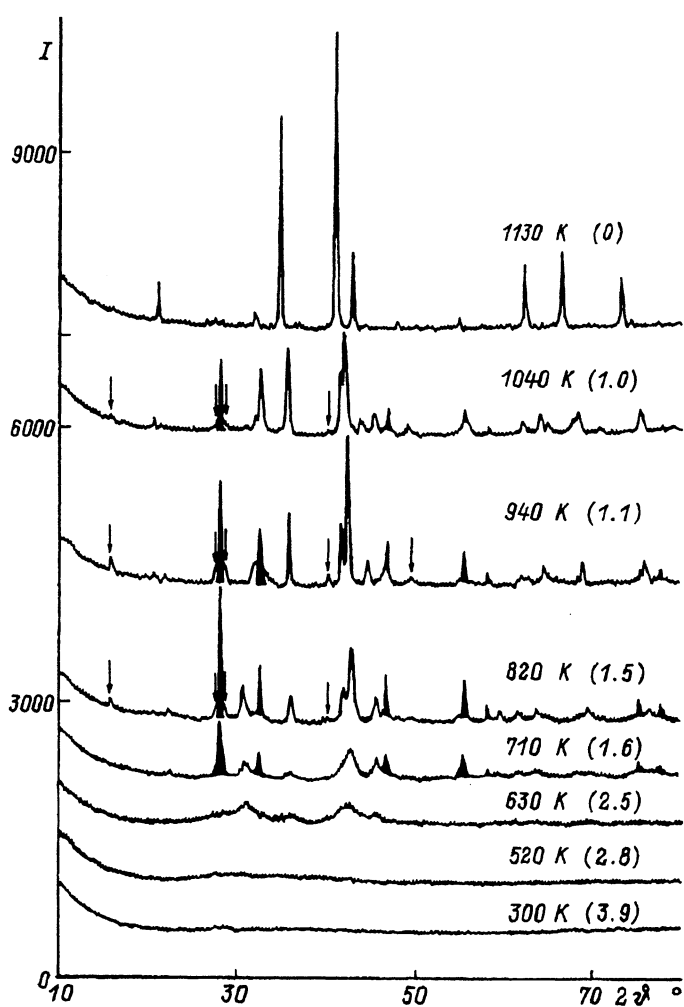


Рис. 2. Рентгенограммы образцов PrNi_2H_x , синтезированных при различных температурах (указаны справа).

В скобках указана величина x . Зачернены пики гидрида празеодима; стрелками отмечены пики гидроокиси празеодима, образовавшейся в результате взаимодействия образцов с воздухом.

При дальнейшем понижении температуры до 940 К (рис. 1) структура PrNi_3 несколько видоизменяется. Из сравнения ее дифракционной картины (рис. 2, 940 К) с данными [13] можно заключить, что здесь возникает сверхструктура Pr_2Ni_7 (см. таблицу). Хотя конкретный вид этой сверхструктуры пока не определен, с большой вероятностью можно утверждать, что в основе ее лежит упорядочение вакансий в Pr -подрешетке.

В области еще более низких температур (940–710 К) (рис. 1) водород разрушает решетку интерметаллида до PrNi_5 (см. таблицу) с выделением того же гидрида празеодима. При этом по мере снижения температуры процесс распада все более замедляется, и на нижней границе (при 710 К) обе структуры PrNi_5 и PrH_2 едва сформированы (ср. дифракционные картины при 820 и 710 К на рис. 2).

Структурные характеристики (структурный тип, пространственная группа, периоды решетки a , c (в Å), позиционные параметры x , y , z , заселенность позиций p) интерметаллических фаз, реализующихся в системе $\text{PrNi}_2\text{-H}$ при разных температурах

1130–1150 К	1040–1130 К
$\text{Pr}_{0.98}\text{Ni}_2$ Сверхструктура на основе кубической фазы Лавеса $F-43m$ $a = 14.578 = 2 \cdot 7.289$ $\text{Pr}(4a) p = 0.678$ $\text{Pr}(4b) p = 1$ $\text{Pr}(16e) x = 0.6272, p = 1$ $\text{Pr}(24g) x = 0.0038, p = 1$ $\text{Ni}(16e) x = 0.3102, p = 1$ $\text{Ni}(16e) x = 0.8114, p = 1$ $\text{Ni}(48h) x = 0.0670, z = 0.8149, p = 1$ $\text{Ni}(48h) x = 0.0646, z = 0.3132, p = 1$ $R_I = 7.08 \%$	$\text{Pr}_{0.86}\text{Ni}_3$ Тип PuNi_3 [12] $R-3m$ $a = 5.028, c = 24.794$ $\text{Pr}(3a) p = 1$ $\text{Pr}(6c) z = 0.1389, p = 0.795$ $\text{Ni}(3b) p = 1$ $\text{Ni}(6c) z = 0.3287, p = 1$ $\text{Ni}(18h) x = 0.5038, z = 0.0809, p = 1$ $R_I = 4.35 \%$
940–1040 К	710–940 К
Pr_2Ni_7 Сверхструктура типа $\text{Nd}_2\text{Ni}_7(\text{II})$ [13] $?$ $a = 5.01, c = 97.57 = 4 \cdot 24.39$	PrNi_5 $[^{14}]$ $P6/mmm$ $a = 4.978, c = 3.979$ $R_I = 6.47 \%$

П р и м е ч а н и е. R_I — интегральный фактор недостоверности определения структуры [11].

Превращение при 630 К в отличие от рассмотренных выше необратимо по температуре: здесь мы вступаем в область аморфного состояния (экзоэффект, соответствующий кристаллизации, при 630–650 К на рис. 1). До сих пор основным аккумулятором водорода в системе PrNi_2H_x естественно было считать гидрид празеодима; тем более, что его количество непрерывно увеличивалось с составом x (рис. 2, 1040–710 К). Теперь картина принципиально изменилась. Хотя водорода в системе стало намного больше (величина x выросла почти на 60% (от 1.6 до 2.5) при понижении температуры гидрирования всего на 80 К), гидрид празеодима практически полностью исчез, и просматривается только мотив структуры PrNi_5 (рис. 2, 630 К). Отсюда можно заключить, что в аморфной фазе гидрид празеодима как индивидуальное соединение с ГЦК-решеткой «растворился», и сохранились только фрагменты структуры PrNi_5 . При этом не очевидно, каким образом удерживается водород в системе.

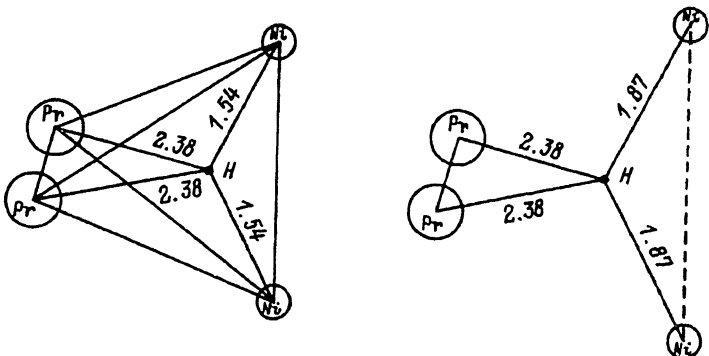


Рис. 3. Предполагаемое расположение атомов металла и водорода в гипотетическом кристалле (слева) и аморфной фазе (справа) PrNi_2H_x .

Еще более удивительным на этом фоне выглядит то, что с понижением температуры аморфный гидрид PrNi_2H_x продолжает поглощать водород до состава $x \simeq 4$ (растянутый обратимый переход в районе 400 К на рис. 1), причем, судя по дифракционной картине (рис. 2, 520, 300 К), без каких-либо видимых изменений в металлической матрице. Этот состав намного превышает тот ($x = 3$), который можно ожидать, даже если весь входящий в решетку PrNi_2 пражеодим связать с водородом в предельно насыщенной форме PrH_3 (никель не взаимодействует с водородом в этих условиях [15]). Напрашивается вывод о том, что в аморфной фазе не пражеодим как таковой, а металлическая матрица в целом удерживает водород. Механизм этого, возможно, следующий.

Как было показано в [16], в изоструктурных с PrNi_2 фазах Лавеса, растворяющих водород по типу внедрения, без разрушения кристаллической решетки, межатомные расстояния металл–водород сохраняются практически такими же, как в бинарных гидридах. Если распространить это наблюдение на аморфные гидриды (что кажется вполне естественным), то можно заключить, что в PrNi_2H_x расстояния $\text{Pr}-\text{H}$ и $\text{Ni}-\text{H}$ близки к тем, которые реализуются в PrH_{2-3} (2.38 Å) [17] и NiH (1.87 Å) [18].

Кроме того, известно [19, 20], что в фазах Лавеса AB_2 наиболее предпочтительной для водорода является тетраэдрическая координация $2\text{A}+2\text{B}$. Атомы водорода внутри этих тетраэдров локализуются таким образом, что со всеми окружающими атомами металла устанавливаются правильные (в упомянутом выше смысле) химические связи. Сами тетраэдры при этом несколько увеличиваются в объеме. Концентрационный коэффициент линейного расширения решетки в таких гидридах $\frac{1}{a} \frac{da}{dc_{\text{H}}}$ ($c_{\text{H}} = \text{H}/\text{Me}$) обычно не превышает 0.05 [20] (по-видимому, при более высоких его значениях связи между атомами металла уже начинают рваться), а предельно достижимая концентрация водорода соответствует составу AB_2H_4 [21].

В случае PrNi_2H_x ситуация не столь простая. Если в рамках структуры PrNi_2 , исходя из известных расстояний $\text{Pr}-\text{H}$ и $\text{Ni}-\text{H}$, попытаться найти позиции для атомов водорода внутри междоузлий $2\text{Pr} + 2\text{Ni}$, то

окажется, что таких позиций не существует. Даже в предельно растянутой решетке (при максимальном значении $\frac{1}{a} \frac{da}{dc_{\text{H}}} = 0.05$ и максимальном составе $x = 4$) невозможно одновременно согласовать все расстояния металл–водород: либо Pr–H, либо Ni–H будут намного короче, чем в бинарных гидридах. На рис. 3, слева в качестве иллюстрации показан случай, когда сохраняются расстояния Pr–H для наиболее активного по отношению к водороду элемента, при этом расстояния Ni–H укорочены почти на 18%. Таким образом, единственная возможность образования гидрида в системе PrNi₂–H — это разрыв связей между атомами металла, как минимум Pr–Ni, что соответствует наименьшему искажению междуузлий 2Pr + 2Ni (рис. 3, справа). Но даже в этом случае решетка в целом настолько сильно деформируется, что практически можно говорить о ее аморфизации: смещения атомов достигают 5% от периода, что сопоставимо с величиной смещений при плавлении.

Если подвижность атомов металла позволяет (температура достаточно высока), то в процессе такой аморфизации гидрид празеодима может выделяться как самостоятельное соединение и образовать собственную ГЦК-решетку (рис. 2, 710–1040 К). Если же диффузия заторможена (при низких температурах), то этот гидрид остается существовать на атомном уровне внутри «междоузлий» 2Pr + 2Ni сильно искаженной матрицы PrNi₂ (в виде связей Pr–H) (рис. 3, справа). Примечательно, что в этом случае максимально достижимый состав AB₂H₄ [21] как раз соответствует тому, который наблюдается экспериментально (рис. 2, 300 К). Становится понятным также, почему на начальной стадии кристаллизации (рис. 2, 630 К) ГЦК-структура гидрида празеодима отсутствует и проявляются только фрагменты структуры PrNi₅. В отличие от первой они содержатся в решетке PrNi₂ в готовом виде [12], как, впрочем, и фрагменты последующих, проявляющихся при более высоких температурах, структур PrNi₃ и Pr₂Ni₇ [12].

Наконец, остановимся кратко на обстоятельстве, благодаря которому становятся возможными рассмотренные здесь превращения (подробный термодинамический анализ см. в [22]). Это почти двукратное превышение энергии связи водород–празеодим в гидриде празеодима (энタルпия образования PrH₂ составляет 208, а PrH₃ — 250 kJ/mol [17]) над энергией связи металл–металл в структуре PrNi₂ (энタルпия образования 112.8 kJ/mol [23]). Таким образом, разрушение структуры PrNi₂ при ее контакте с водородом фактически предопределено, поскольку другого способа образования связей празеодим–водород, как выяснилось, нет. Какое конкретно превращение реализуется — зависит от условий (рис. 2). Очень вероятно, однако, что в любом случае ему предшествует переходный процесс, когда образование гидрида идет на атомном уровне в рамках прежней, но сильно искаженной матрицы. Возникающее при этом аморфное состояние является, естественно, метастабильным. Будучи зафиксированным в условиях заторможенной кинетики (при достаточно низкой температуре), оно все равно рано или поздно распадается. И совсем не очевидно, какая из структур (PrNi₅, PrNi₃ или Pr₂Ni₇) проявится при этом как дополнение к гидриду празеодима, поскольку все они, по сути, являются производными от исходной структуры PrNi₂.

Авторы признательны В.А. Соменкову, И.И. Борисову и М.Г. Землянову за полезные обсуждения, В.Г. Федорову за помощь в проведении экспериментов.

Работа выполнена при финансовой поддержке Российского фонда фундаментальных исследований (проект 94-02-05988).

Список литературы

- [1] Flangan T.B., Oates W.A. In: Hydrogen in Intermetallic Compounds I. Springer-Verlag Berlin (1988). P. 49–85.
- [2] Shaltiel D. J. Less-Comm. Met. **62**, 407 (1978).
- [3] Aoki K., Yamamoto T., Masumoto T. Scr. Metall. **21**, 1, 27 (1987).
- [4] Aoki K., Masumoto T. Nippon Kinzoku Gakkai Kaiho **28**, 10, 803 (1989).
- [5] Paul-Boncour V., Lartigue C., Percheron-Guegan A., Achard J.C., Pannetier J. J. Less-Comm. Met. **143**, 301 (1988).
- [6] Aoki K., Yanagitani A., Masumoto T., Chattopadhyay K. J. Less-Comm. Met. **147**, 105 (1989).
- [7] Kanematsu K., Sugiyama T., Sekine M., Okagaki T., Kobayashi K.I. J. Less-Comm. Met. **147**, 9 (1989).
- [8] Шилов А.Л. ЖНХ **36**, 9, 2228 (1991).
- [9] Latroche M., Paul-Boncour V., Percheron-Guegan A. Z. Phys. Chem. **179**, 261 (1993).
- [10] Борисов И.И., Глазков В.П., Иродова А.В., Лаврова О.А., Ласкова Г.В., Соменков В.А., Шильштейн С.Ш. Препринт ИАЭ-4108/9. М. (1985).
- [11] Wiles D., Young R. J. Appl. Cryst. **14**, 149 (1981).
- [12] Шуберт К. Кристаллические структуры двухкомпонентных фаз. М. (1971). 531 с.
- [13] Virkar A.V., Raman A. J. Less-Comm. Met. **16**, 59 (1968).
- [14] Bushow K.H.J. Rep. Progr. Phys. **40**, 1179 (1977).
- [15] Понятовский Е.Г., Антонов В.Е., Белаш И.Т. ДАН СССР **229**, 2, 391 (1976).
- [16] Иродова А.В., Соменков В.А., Шильштейн С.Ш. ФТТ **25**, 10, 3196 (1983).
- [17] Кост М.Е., Шилов А.Л., Михеева В.И. В кн.: Соединения редкоземельных элементов: Гидриды, бориды, карбиды. М. (1983). С. 15.
- [18] Иродова А.В., Глазков В.П., Соменков В.А., Шильштейн С.Ш., Антонов В.Е., Понятовский Е.Г. Кристаллография **33**, 3, 769 (1988).
- [19] Яртысь В.А., Бурнашева В.В., Семененко К.Н. Успехи химии **L11**, 4, 529 (1983).
- [20] Yvon K., Fischer P. In: Hydrogen in Intermetallic Compounds I. Springer-Verlag Berlin (1988). P. 87–138.
- [21] Somenkov V.A., Irodova A.V. J. Less-Comm. Met. **101**, 481 (1984).
- [22] Shilov A.L., Kost M.E., Kuznetsov N.T. J. Less-Comm. Met. **147**, 185 (1989).
- [23] Кучев С.В. Автореф. канд. дис. М. (1984).